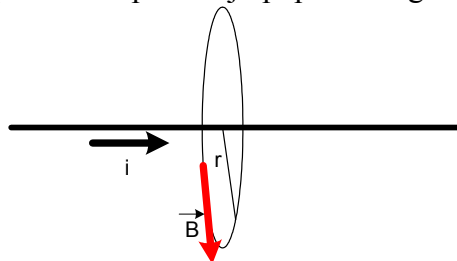


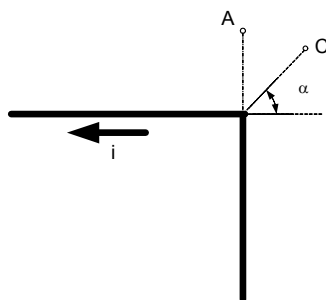
## 16. Pole magnetyczne, indukcja

Wybór i opracowanie Marek Chmielewski

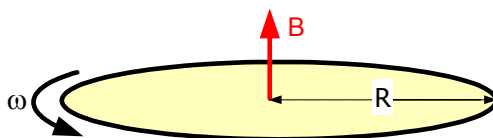
- 16.1. Znaleźć indukcję pola magnetycznego w odległości  $r$  od nieskończenie długiego przewodnika walcowego o promieniu przekroju poprzecznego  $a$  w którym płynie prąd  $I$ .



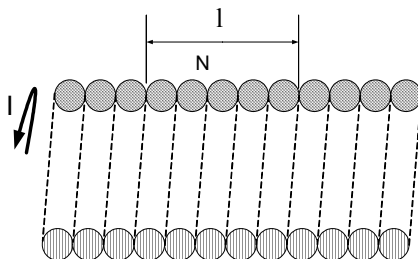
- 16.2. Wyznaczyć indukcję pola magnetycznego wytworzonego przez prąd o natężeniu  $i$  płynący przez nieskończenie długi przewód zgięty pod kątem prostym:
- W punkcie A leżącym w płaszczyźnie przewodnika odległym od jego końca o odległość  $h$ , na przedłużeniu jednego z ramion przewodnika (rys)
  - W punkcie C odległym o  $h$  od osi przewodnika, leżącym pod kątem  $\alpha$  do osi jednego z ramion przewodnika.



- 16.3. Jednorodnie naładowana ładunkiem  $Q$  cienka tarcza o promieniu  $R$ , obraca się z prędkością kątową  $\omega$  dookoła swojej osi. Znaleźć wartość indukcji pola magnetycznego w jej geometrycznym środku.

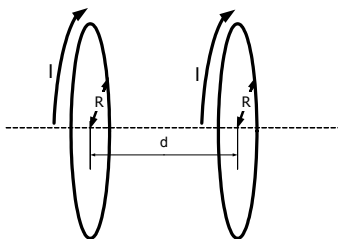


- 16.4. Wyznaczyć wartość indukcji pola magnetycznego wewnątrz nieskończonego solenoidu, w którym na  $l$  jego długości przypada  $N$  ciasno ułożonych zwojów w których płynie prąd  $I$ .

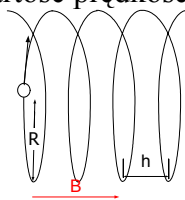


- 16.5. Wyznaczyć wartości gęstości energii pola magnetycznego wewnątrz nieskończonego solenoidu o promieniu  $R$ , gęstości liniowej zwojów  $n$ , przez który płynie prąd  $i$ .

- 16.6. Dwa zwoje drutu o promieniu  $R$  ustawionych tak jak na rysunku odległych o  $d$  tak, że ich osie symetrii się pokrywają. W solenoidach płyną prądy  $I$  w tym samym kierunku. Wyznaczyć wartość indukcji pola magnetycznego na osi łączącej obydwa zwoje w zależności od odległości pomiędzy zwojami.



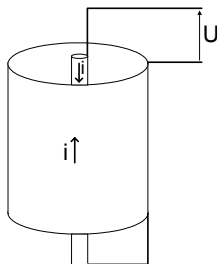
- 16.7. Elektron porusza się w jednorodnym polu magnetycznym o indukcji  $B$  po linii śrubowej o promieniu  $R$  i skoku  $h$ , wyznaczyć wartość prędkości elektronu.



- 16.8. W taśmie metalowej o szerokości  $a$  i grubości  $d$  płynie prąd  $I$ . Taśma znajduje się w jednorodnym polu magnetycznym o indukcji  $B$ . Obliczyć różnicę potencjałów między punktami  $A$  i  $C$  taśmy, jeżeli wiadomo, że w jednostce objętości materiału z jakiego zrobiona jest taśma, znajduje się  $n$  elektronów na jednostkę objętości.

- 16.9. Dany jest jednorodny pierścień o promieniu  $r$  i oporze  $R$ . W dwóch dowolnych punktach  $A$  i  $B$  tego pierścienia przyłączono dwa długie przewody, tak by ich kierunki tworzyły przedłużenia promieni tego pierścienia, zasilane ze źródła o napięciu  $U$ . Obliczyć indukcję magnetyczną w środku pierścienia.

- 16.10. Wzdłuż osi cienkościennej rury biegnie prostoliniowy przewód. Prąd  $I$  płynący w rurze wraca przewodem do źródła. Wyznaczyć wielkość indukcji pola magnetycznego jako funkcję odległości od środka rury.



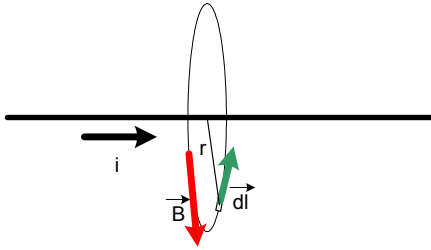
- 16.11. Pręt o długości  $l$  i masie  $m$  położono na dwóch równoległych szynach nachylonych pod kątem  $\alpha$  do poziomu. Szyny znajdują się w jednorodnym polu magnetycznym o indukcji  $B$ , skierowanym prostopadłe do poziomu. Znaleźć prędkość ruchu pręta w przypadku gdy szyny nie są połączone oraz w przypadku, gdy szyny są zwarte na jednych końcach oporem  $R$ . Przyjąć, że pręt może ślizgać się bez tarcia oraz że opór pręta i szyn można zaniedbać.

- 16.12. Na dwóch równoległych poziomych szynach położono pręt o oporze  $R$ , długości  $l$  i masie  $m$ . Szyny są połączone ze źródłem napięcia  $U$  i znajdują się na całej swojej długości w jednorodnym polu magnetycznym, indukcji  $B$ , skierowanej prostopadłe do szyn. Współczynnik tarcia pręta o szyny wynosi  $\mu$ . Jaka będzie maksymalna prędkość pręta?

- 16.13. Dwie równoległe, poziome szyny są połączone kondensatorem o pojemności  $C$ . Na szynach położono pręt o długości  $l$  i masie  $m$ . Z jakim przyspieszeniem  $a$  będzie poruszał się pręt, jeżeli działa na niego zewnętrzna siła pozioma  $F$  oraz jednorodne pole magnetyczne  $B$  wszędzie prostopadłe do pręta i do płaszczyzny ruchu.

## 16. Rozwiązania

16.1.R. Korzystamy z prawa Ampera



$$\oint \vec{B} d\vec{l} = \mu_0 i$$

$$\vec{B} \parallel d\vec{l} \Rightarrow \vec{B} d\vec{l} = B dl$$

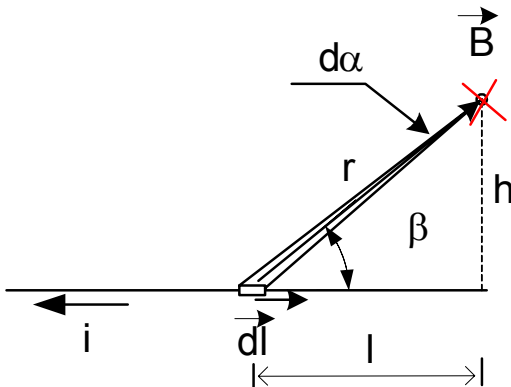
$$B = \text{const}$$

$$B \oint dl = \mu_0 i$$

$$B 2\pi r = \mu_0 i$$

$$B = \frac{\mu_0 i}{2\pi r}$$

16.2.R. a) Korzystamy z prawa Biota-Savarta. Każdy z odcinków przewodu potraktujemy oddzielnie, a wynik końcowy uzyskamy z superpozycji uzyskanych wyników cząstkowych.



$$d\vec{B} = \frac{\mu_0 i}{4\pi} \frac{d\vec{l} \times \vec{r}}{r^3}$$

$$dB = \frac{\mu_0 i}{4\pi} \frac{dl}{r^2} \sin \beta$$

$$r = \frac{h}{\sin \beta}$$

$$dB = \frac{\mu_0 i}{4\pi} \frac{dl}{h^2} \sin^3 \beta$$

$$\text{tg} \beta = \frac{h}{l} \quad l = \frac{h}{\text{tg} \beta}$$

$$dl = -\frac{h}{\sin^2 \beta} d\beta$$

$$dB = -\frac{\mu_0 i}{4\pi} \frac{\sin \beta}{h} d\beta$$

$$B = \int_{\frac{\pi}{2}}^0 -\frac{\mu_0 i}{4\pi} \frac{\sin \beta}{h} d\beta$$

$$B = \frac{\mu_0 i}{4\pi h} \int_0^{\frac{\pi}{2}} \sin \beta d\beta = \frac{\mu_0 i}{4\pi h}$$

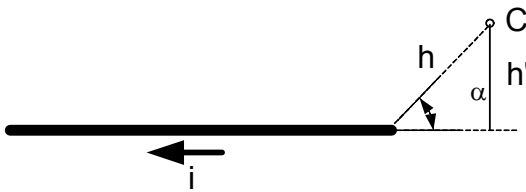
Dla drugiej części przewodu punkt A leży dokładnie na jego przedłużeniu a więc wektor  $d\vec{l}$  jest zawsze równoległy do wektora  $\vec{r}$ .

$$d\vec{l} \parallel \vec{r} \Rightarrow d\vec{l} \times \vec{r} \equiv 0$$

$$d\vec{B} = \frac{\mu_0 i}{4\pi} \frac{d\vec{l} \times \vec{r}}{r^3} = 0 \Rightarrow B = 0$$

Wynik końcowy jest równy jest zatem:  $B = \frac{\mu_0 i}{4\pi h}$  Jest to dokładnie połowa wartości uzyskanej w pierwszym zadaniu.

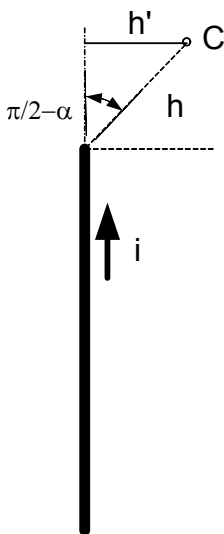
b) Analogicznie jak w punkcie a) rozpatrujemy każdą z półprostych osobno i tak ja w punkcie poprzednim wykorzystamy prawo Biota Savarta.



Dla pierwszej półprostej  $h=h'=h\sin\alpha$  oraz górna granica całkowania to  $\alpha$ .

W wyniku uzyskujemy:

$$B_1 = \frac{\mu_0 i}{4\pi h \sin \alpha} \int_0^\alpha \sin \beta d\beta = \frac{\mu_0 i}{4\pi h \sin \alpha} (1 - \cos \alpha)$$



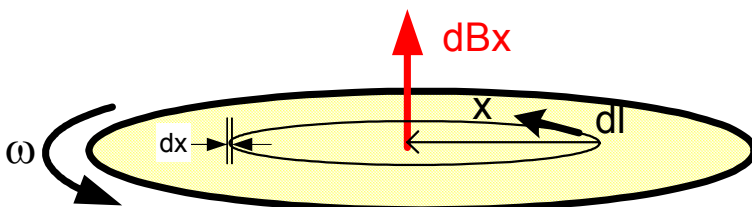
Dla drugiej półprostej  $h'=h\sin(\pi/2-\alpha)=h\cos\alpha$  i całkujemy od  $\pi/2-\alpha$  do 0 (zgodnie z kierunkiem prądu dla pierwszej półprostej). W wyniki uzyskujemy

$$B_1 = \frac{\mu_0 i}{4\pi h \cos \alpha} \int_{\frac{\pi}{2}-\alpha}^0 \sin \beta d\beta = \frac{\mu_0 i}{4\pi h \cos \alpha} (1 - \sin \alpha)$$

Wynik końcowy to  $B=B_1+B_2$

### 16.3.R.

Podzielimy całą tarczę na pierścienie o promieniu  $r$  i grubości  $dx$ . Określmy wartość indukcji pola magnetycznego  $dB_x$  od ładunku przemieszczającego się wraz z pierścieniem.



$$d(dB_x) = \frac{\mu_0 di}{4\pi} \frac{d\vec{l} \times \vec{x}}{x^3}$$

$$d\vec{l} \perp \vec{x} \Rightarrow d\vec{l} \times \vec{x} = dlx$$

$$dB_x = \frac{\mu_0 di}{4\pi} \frac{1}{x^2} \int dl = \frac{\mu_0 i}{4\pi} \frac{1}{x^2} 2\pi x$$

$$dB_x = \frac{\mu_0 di}{2x}$$

$i = \frac{dq}{dt}$  W czasie  $t = T$  przez przekrój  $dx$  przemieści się ładunek

$$dq = \frac{Q}{\pi R^2} 2\pi x dx$$

czyli przepływanie prądu

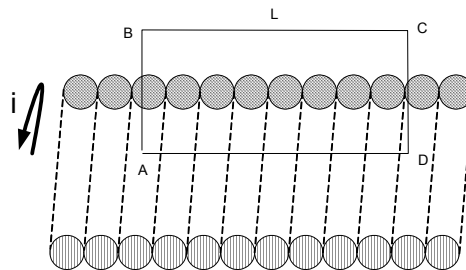
$$di = \frac{dq}{T}$$

$$T = \frac{2\pi}{\omega} \Rightarrow di = \frac{\frac{Q}{\pi R^2} 2\pi x dx}{\frac{2\pi}{\omega}} = \omega \frac{Q}{\pi R^2} x dx$$

$$dB_x = \frac{\mu_0 \omega Q x dx}{\pi R^2 2x} = \frac{\mu_0 \omega Q}{2\pi R^2} dx$$

$$B = \frac{\mu_0 \omega Q}{2\pi R^2} \int_0^R dx \Rightarrow B = \frac{\mu_0 \omega Q}{2\pi R}$$

16.4.R. Korzystamy z prawa Ampera  $\oint \vec{B} d\vec{l} = \mu_0 i$



Założenia:

- nieskończona długość solenoidu,
- wewnątrz jednorodne pole magnetyczne B
- na zewnątrz wartość indukcji pola magnetycznego wynosi 0

$$\oint \vec{B} d\vec{l} = \int_A^B \vec{B} d\vec{l} + \int_B^C \vec{B} d\vec{l} + \int_C^D \vec{B} d\vec{l} + \int_D^A \vec{B} d\vec{l} = \mu_0 Ni$$

$$1 - \vec{B} \perp d\vec{l} \Rightarrow \int_A^B \vec{B} d\vec{l} = 0$$

$$2 - \vec{B} = 0 \Rightarrow \int_B^C \vec{B} d\vec{l} = 0$$

$$Bl = \mu_0 Ni$$

$$3 - \vec{B} \perp d\vec{l} \Rightarrow \int_C^D \vec{B} d\vec{l} = 0$$

$$B = \mu \frac{N}{l} i$$

$$4 - B = const \Rightarrow \int_D^A \vec{B} d\vec{l} = Bl$$

16.5.R. W celu wyznaczenia energii posłużymy się indukcyjnością nieskończonego solenoidu.

Korzystając z prawa Faradaya  $U = -L \frac{di}{dt}$

Dla części środkowej długiego solenoidu ( $U = -\frac{d\Phi_B}{dt}$  gdzie  $\Phi_B$  jest strumieniem pola magnetycznego) wypadkowy strumień przechodzi przez N zwojów dlatego

$$U = -N \frac{d\Phi_B}{dt} = -L \frac{di}{dt} \Rightarrow N\Phi_B = Li$$

$$N\Phi_B = NB\pi R^2 = n l B \pi R^2$$

Indukcja pola magnetycznego wewnątrz solenoidu wynosi (patrz poprzednie zadanie)  $B = \mu_0 ni$

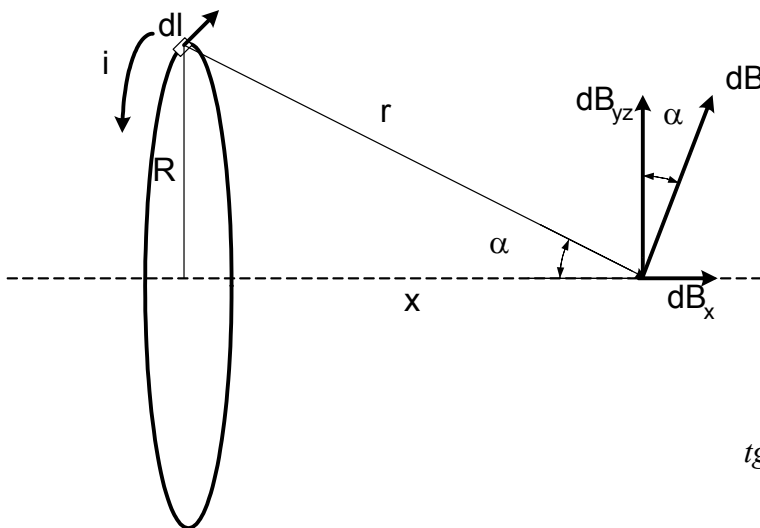
$$N\Phi_B = \mu_0 n^2 i l \pi R^2 \quad L = \frac{N\Phi_B}{i} = \mu_0 n^2 l \pi R^2$$

$$|U| = U_m = L \frac{di}{dt} \Rightarrow P = U_m i = Li \frac{di}{dt} \quad P = \frac{dE_B}{dt} = Li \frac{di}{dt} \quad dE_B = Lidi$$

$$E_B = L \frac{i^2}{2} = \mu_0 n^2 l \pi R^2 \frac{i^2}{2} \quad e_B = \frac{E_B}{V} = \frac{E_B}{l \pi R^2} = \mu_0 n^2 l \pi R^2 \frac{i^2}{2 l \pi R^2} = \frac{\mu_0 n^2 i^2}{2}$$

Dodatkowo w powietrzu  $e_B = \frac{\mu_0 n^2 i^2}{2} = \frac{B^2}{2\mu_0} \quad B = \mu_0 H \quad e_B = \frac{HB}{2}$

**16.6.R.** Rozpatrzmy pojedynczy zwój.



$$d\vec{B} = \frac{\mu_0 i}{4\pi} \frac{d\vec{l} \times \vec{r}}{r^3}$$

$$d\vec{B} = d\vec{B}_x + d\vec{B}_{yz} = dB_x \hat{x} + dB_{yz} \hat{y}$$

$$dB_x = |d\vec{B}| \sin \alpha$$

$$|d\vec{B}_{yz}| = |d\vec{B}| \cos \alpha$$

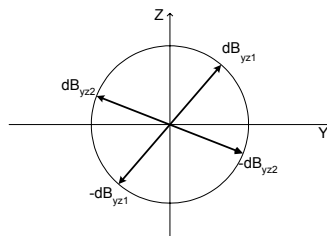
$$d\vec{l} \perp \vec{r} \Rightarrow |d\vec{B}| = \frac{\mu_0 i}{4\pi} \frac{dl}{r^2}$$

$$\operatorname{tg} \alpha = \frac{R}{x} \Rightarrow x = \frac{R}{\operatorname{tg} \alpha} \quad r = \sqrt{x^2 + R^2} \quad \sin \alpha = \frac{R}{\sqrt{x^2 + R^2}}$$

$$dB_x = \frac{\mu_0 i}{4\pi} \frac{R}{\sqrt{x^2 + R^2}^{3/2}} dl \Rightarrow B_x = \frac{\mu_0 i}{4\pi} \frac{R}{\sqrt{x^2 + R^2}^{3/2}} \int dl$$

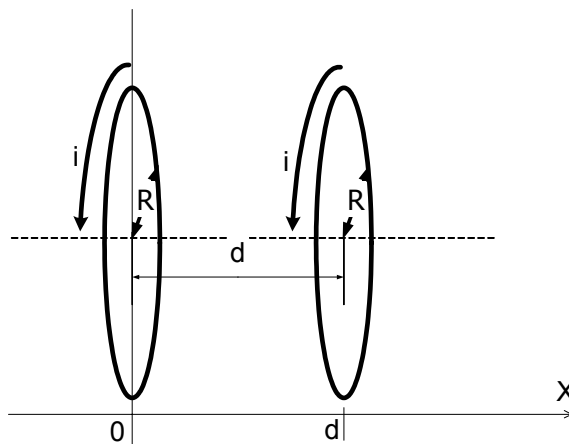
$$B_x = \frac{\mu_0 i}{4\pi} \frac{R}{\sqrt{x^2 + R^2}^{3/2}} 2\pi R = \frac{\mu_0 i R^2}{2\sqrt{x^2 + R^2}^{3/2}}$$

Łatwo można zauważyć, że dla składowej indukcji pola magnetycznego  $B_y$  wynik podobnej kalkulacji daje dokładnie zero. Ze względu na symetrię kołową, dodając wektory, o tej samej długości, rozmieszczone na okręgu możemy wykazać zerowanie się składowej wypadkowej indukcji pola magnetycznego  $B_{yz}$ .



$$B_w = B_x$$

$$B_w = \frac{\mu_0 i R^2}{2\sqrt[3]{x^2 + R^2}} + \frac{\mu_0 i R^2}{2\sqrt[3]{(x-d)^2 + R^2}}$$



### 16.7.R.

Elektron będzie poruszał się po linii śrubowej, gdy jego prędkość będzie skierowana pod kątem  $\alpha$  do B.

$V_x$  – prędkość stała odpowiedzialna za skok linii śrubowej

$V_y$  – prędkość prostopadłą do kierunku wektora indukcji pola magnetycznego

Pole magnetyczne na składową  $V_y$  działa dokładnie w sposób jaki można opisać za pomocą siły dośrodkowej

Działa siła pola magnetycznego  $F_l$

$$\vec{F}_l = q\vec{V}_y \times \vec{B} \quad \vec{V}_y \perp \vec{B} \Rightarrow F_l = qV_y B$$

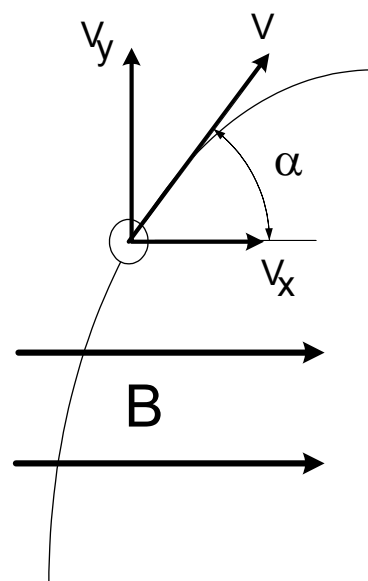
$F_l$  – jest to siła dośrodkowa  $F_d = \frac{mV_y^2}{R}$  czyli

$$\frac{mV_y^2}{R} = qV_y B \quad \Rightarrow \quad V_y = \frac{qBR}{m}$$

$$V_x = \frac{h}{T} \quad T = \frac{2\pi R}{V_y} \quad V_x = \frac{hV_y}{2\pi R}$$

$$\vec{V} = V_x \hat{x} + V_y \hat{y} = [V_x, V_y] \quad |\vec{V}| = \sqrt{V_x^2 + V_y^2}$$

$$|\vec{V}| = V_y \sqrt{1 + \left(\frac{h}{2\pi R}\right)^2} = \frac{qBR}{m} \sqrt{1 + \left(\frac{h}{2\pi R}\right)^2}$$



### 16.8.R.

Na poruszające się ładunki działa siła

$$\vec{F}_B = e\vec{V} \times \vec{B}$$

Po wduje ona powstanie różnicy napięć pomiędzy punktami A i C.

To napięcie następnie powoduje powstanie pola elektrycznego, przeciwnie skierowanego do siły pola magnetycznego

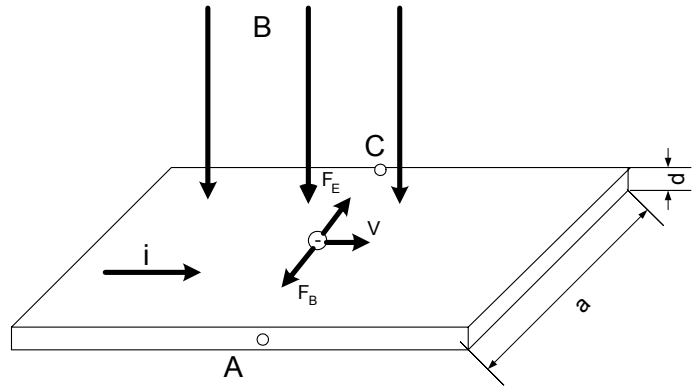
$$\vec{F}_E = \vec{E}e$$

W stanie równowagi wypadkowa wartość siły wynosi 0

$$\vec{F}_E + \vec{F}_B = 0$$

$$F_E - F_B = 0$$

$$e\vec{E} = e\vec{v} \times \vec{B}$$



$$eE = eVB \Rightarrow E = VB$$

Ze względu na analogię z kondensatorem płaskim  $U=aE$

$$U = aVB$$

Należy

W czasie  $\Delta t$  elektrony pokonają drogę  $V\Delta t$ , całkowity ładunek przepływający przez powierzchnię  $S=ad$ , wynosi  $\Delta Q=neV\Delta tad$

$$i = \frac{\Delta Q}{\Delta t} = neVad \Rightarrow V = \frac{i}{nead} \quad U_{AC} = aVB = \frac{iB}{ned}$$

Napięcie powstające pomiędzy punktami A i C nosi nazwę napięcia Halla

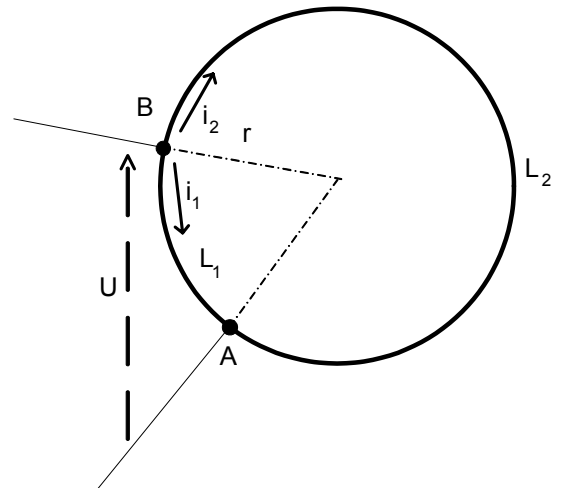
### 16.9.R.

Przewody doprowadzające prąd nie powodują powstania pola magnetycznego w środku okręgu (patrz zadanie drugie punkt b)

W pierścieniu popłyną dwa różne prądy, każdy z nich wytworzy pole magnetyczne w środku pierścienia.

Wyznamy te prądy  $i$  na podstawie prawa Biotta-Savarta wyznaczymy wartość indukcji pola magnetycznego w środku pierścienia

$$i_1 = \frac{U}{R_1} \quad i_2 = \frac{U}{R_2} \quad R_1 = \rho \frac{L_1}{S} \quad R_2 = \rho \frac{L_2}{S}$$



S- pole przekroju przewodnika

$$i_1 = \frac{U}{\rho L_1} S \quad d\vec{B} = \frac{\mu_0 i}{4\pi} \frac{d\vec{l} \times \vec{r}}{r^3} \quad d\vec{l} \perp \vec{r} \Rightarrow dB_1 = \frac{US\mu_0}{4\pi\rho L_1} \frac{dl}{r^2} \quad B_1 = \frac{US\mu_0}{4\pi\rho L_1 r^2} \int_{L_1} dl$$

$$B_1 = \frac{US\mu_0}{4\pi\rho r^2}$$



Analogiczne obliczenia dla odcinka  $L_2$  pozwalają uzyskać następujący wynik  $B_2 = \frac{US\mu_0}{4\pi r^2}$

Wartości indukcji pochodzących od różnych odcinków pierścienia mają tę samą wartość. Ze względu na różnicę w kierunkach prądów płynących w obu odcinkach pierścienia, wartości indukcji pola magnetycznego różnią się znakami. Wypadkowa wartość pola magnetycznego wynosi zatem 0, bez względu na miejsca podłączenia przewodów tj. umieszczenia punktów A i B.

### 16.10.R.

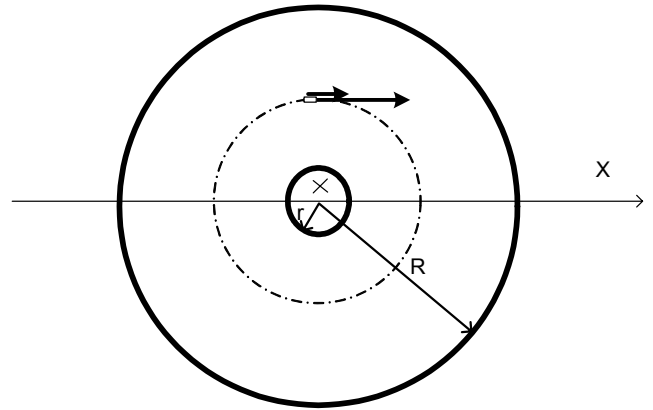
Wykorzystamy prawo Ampera. Pole magnetyczne pomiędzy pierścieniami wytwarzać będzie tylko prąd płynący w pierścieniu wewnętrznym

$$\oint \vec{B} d\vec{l} = \mu_0 i \quad \vec{B} \parallel d\vec{l}$$

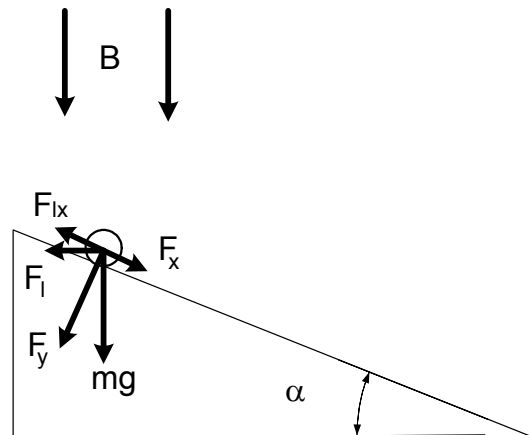
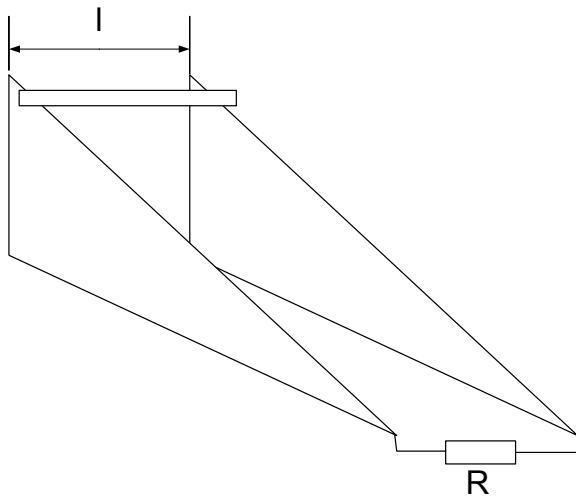
$$R < x < R$$

$$\text{Dla } x = \text{const}; B = \text{const}$$

$$B \oint dl = \mu_0 i \quad B 2\pi x = \mu_0 i \Rightarrow B = \frac{\mu_0 i}{2\pi x}$$



### 16.11.R.



Gdy szyny nie są połączone rezystorem R wtedy działa tylko siła grawitacji ( $F_1=0$ ) i pręt będzie poruszał się ruchem jednostajnie przyspieszonym o wartości przyspieszenia  $a = g \sin \alpha$  z prędkością początkową  $V_0=0$  z pozycji początkowej  $x_0=0$ . Równanie ruchu będzie miało następującą postać:

$$x(t) = a \frac{t^2}{2} + V_0 t + x_0 \quad x(t) = g \sin \alpha \frac{t^2}{2}$$

Gdy połączymy szyny rezystorem R w obwodzie, ze względu na prawo indukcji Faradaya, popłynie prąd i wytworzy się siła oddziaływania pola magnetycznego  $F_1$  działająca przeciwnie do siły ściąągającej pochodzącej od pola grawitacyjnego. Pręt będzie poruszał się z przyspieszeniem jednostajnie zmiennym do chwili zrównoważenia się sił ściąągającej i siły Lorentza. W dalszej części będzie poruszał się ruchem jednostajnym. Osiągnie zatem prędkość maksymalną.

$$\vec{F}_l = \vec{l} \times \vec{B} \quad \vec{i} \perp \vec{B} \Rightarrow F_l = ilB \quad F_{lx} = ilb \cos \alpha$$

$$\varepsilon = -\frac{d\Phi_B}{dt} = -\frac{d}{dt}Blx = -lVB$$

Minus oznacza polaryzację powstającej różnicy potencjałów, w naszym przypadku w celu wyznaczenia prądu płynącego przez pręt został on już uwzględniony przy kierunku działania siły pola magnetycznego.

$$U = lVB \cos \alpha \quad i = \frac{U}{R} = \frac{lVB \cos \alpha}{R}$$

Wypadkowa wartość siły zsuwającej działającej na pręt ma następującą postać:

$$F = F_x - F_{lx} = mg \sin \alpha - lB \cos \alpha \frac{lVB \cos \alpha}{R} = mg \sin \alpha - \frac{l^2 B^2 \cos^2 \alpha}{R} V$$

$$m \frac{d^2 x}{dt^2} = mg \sin \alpha - \frac{l^2 B^2 \cos^2 \alpha}{R} V \Rightarrow \frac{d^2 x}{dt^2} + \frac{l^2 B^2 \cos^2 \alpha}{Rm} \frac{dx}{dt} - g \sin \alpha = 0$$

Rozwiązanie uzyskanego równania różniczkowego jest równaniem ruchu  $x=x(t)$  które umożliwia pełny opis ruchu pręta.

Można w sposób prosty wyznaczyć maksymalną szybkość poruszania się pręta. Warunek znikania siły wypadkowej jest warunkiem poruszania się ze stałą prędkością  $V_{\max}$ .

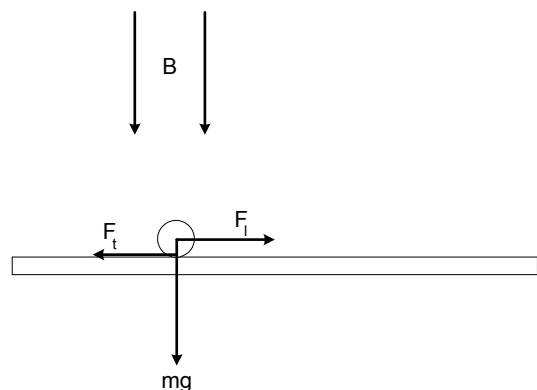
$$mg \sin \alpha - \frac{l^2 B^2 \cos^2 \alpha}{R} V_{\max} = 0 \quad \Rightarrow \quad V_{\max} = \frac{Rmg \sin \alpha}{l^2 B^2 \cos^2 \alpha}$$

### 16.12.R.

W wyniku przepływu prądu pojawi się siła przesuwająca pręt w poziomie  $F_l$

$$\vec{i} \perp \vec{B} \Rightarrow F_l =$$

Z drugiej strony pojawi się napięcie indukowane



Dlatego

$$i_w = \frac{U - U_{ind}}{R} = \frac{U - lBV}{R} \quad F_w = F_l - F_t = lB \frac{U - lBV}{R} - mg\mu$$

Pręt przyspiesza do momentu gdy  $F_w=0$

$$lB \frac{U - lBV_{\max}}{R} = mg\mu \quad \Rightarrow \quad V_{\max} = \frac{U}{Bl} - \frac{mg\mu R}{B^2 l^2}$$

**16.13.R.**

Gdy pręt porusza się pod wpływem działającej siły  $F$  to powstaje siła elektromotoryczna indukcji:

$U_{ind} = Blv$ , przyrost powstającego napięcia wynosi  $\Delta U_{ind} = Bl\Delta v$ .

Zmiana napięcia indukowanego umożliwi przepływ prądu przez kondensator.

$$U = \frac{Q}{C} \quad \Rightarrow \quad \Delta U = \frac{\Delta Q}{C} \quad i = \frac{\Delta Q}{\Delta t} \Rightarrow \quad i = \frac{CBl\Delta v}{\Delta t} = CBla$$

Pojawi się zatem siła elektrodynamiczna  $F_{el} = ilB = CB^2l^2a$  przeciwnie skierowana do  $F$

Na pręt będzie działać siła wypadkowa o wartości  $F_w = F - F_{el}$

$$F_w = ma = F - CB^2l^2a \quad \Rightarrow \quad a = \frac{F}{m + CB^2l^2}$$